Bilderkennung und Muster aus der Cahn-Hilliard Gleichung

Jeremias Lauterbach

Das Problem: Visualisierung dreidimensionaler Objekte

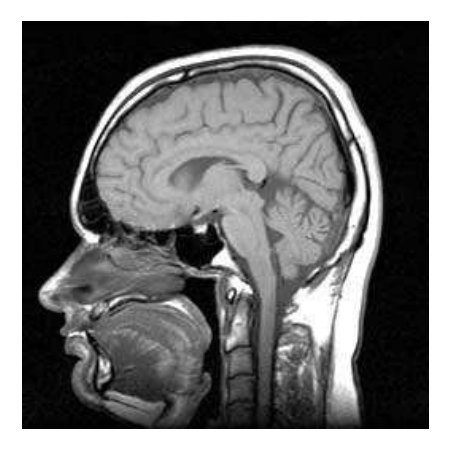
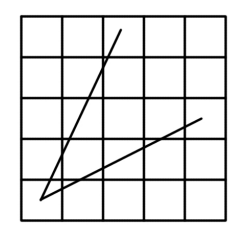


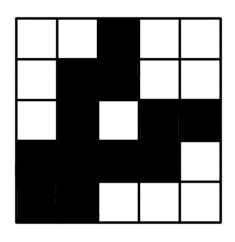
Abbildung: Ein MRT-Schnitt des menschlichen Gehirns Quelle: http://www.wikipedia.de: Magnetic Resonance Imaging scan of a head. Released under the GFDL by en:User:TheBrain on 20 May 2003

Die Lösung: Homologie

Wir können die Homologie dreidimensionaler Objekte berechnen ohne sie graphisch darzustellen, damit erhalten wir topologische Information über das Objekt, ohne dass eine Visualisierung nötig ist.



(a) Die Geradenabschnitte V



(b) Die kubische Approximation

Abbildung: V in einer Auflösung von 5×5 Pixeln

Wir bezeichnen mit Γ die Menge der schwarzen Pixel, mit Λ die Menge der weißen Pixel und erhalten kubische Mengen G, L durch

$$G = |\Gamma| = \bigcup \Gamma, \quad L = |\Lambda| = \bigcup \Lambda$$

Wir bezeichnen mit Γ die Menge der schwarzen Pixel, mit Λ die Menge der weißen Pixel und erhalten kubische Mengen G, L durch

$$G = |\Gamma| = \bigcup \Gamma, \quad L = |\Lambda| = \bigcup \Lambda$$

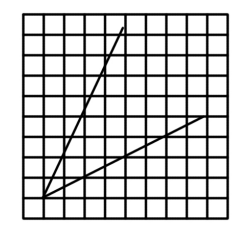
Während Γ und Λ disjunkte Mengen sind, haben G und L gemeinsame Ecken und Kanten. Dies lässt sich nicht vermeiden, da die Information über ein- und nulldimensionale Seiten nicht in den Pixeln enthalten sind.

Wir bezeichnen mit Γ die Menge der schwarzen Pixel, mit Λ die Menge der weißen Pixel und erhalten kubische Mengen G, L durch

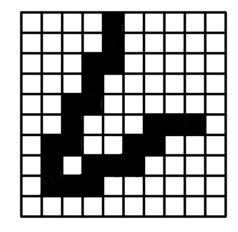
$$G = |\Gamma| = \bigcup \Gamma, \quad L = |\Lambda| = \bigcup \Lambda$$

Während Γ und Λ disjunkte Mengen sind, haben G und L gemeinsame Ecken und Kanten. Dies lässt sich nicht vermeiden, da die Information über ein- und nulldimensionale Seiten nicht in den Pixeln enthalten sind.

V ist homotop zu einem Punkt, hat also die gleiche Homologie. *G*, eine kubische Approximation von *V*, besitzt ein Loch, lässt sich also nicht zu einem Punkt zusammenziehen.



(a) Die Geradenabschnitte V



(b) Die kubische Approximation

Abbildung: V in einer Auflösung von 10×10 Pixeln

Die Berechnung der Homologie dreidimensionaler Objekte kann in Anwendungen geometrische Fragen mit sehr wenig Aufwand beantworten.

Die Berechnung der Homologie dreidimensionaler Objekte kann in Anwendungen geometrische Fragen mit sehr wenig Aufwand beantworten.

Die betrachteten Objekte sind stetig, berechnet wird die Homologie einer kubischen Approximation. Dadurch können sowohl zusätzliche Erzeuger der Homologiegruppen entstehen, als auch Erzeuger vernichtet werden.

Es stellen sich folgende Fragen:

■ Wie sehen die Homologiegruppen der kubischen Homologie im dreidimensionalen aus?

Es stellen sich folgende Fragen:

- Wie sehen die Homologiegruppen der kubischen Homologie im dreidimensionalen aus?
- Welche geometrischen Eigenschaften messen sie?

■ Die einzigen Homologiegruppen die auftreten sind H_0 , H_1 und H_2 bzw. bei zweidimensionalen Objekten nur H_0 und H_1 . Die hier auftretenden Homologiegruppen sind endlich erzeugte freie abelsche Gruppen sind, d.h. es gilt $H_k \cong \mathbb{Z}^{\beta_k}$, $\beta_k \in \mathbb{Z}$. Die Zahl β_k heißt die k-te Bettizahl.

- Die einzigen Homologiegruppen die auftreten sind H_0 , H_1 und H_2 bzw. bei zweidimensionalen Objekten nur H_0 und H_1 . Die hier auftretenden Homologiegruppen sind endlich erzeugte freie abelsche Gruppen sind, d.h. es gilt $H_k \cong \mathbb{Z}^{\beta_k}$, $\beta_k \in \mathbb{Z}$. Die Zahl β_k heißt die k-te Bettizahl.
- Die Homologiegruppen sind durch die Bettizahlen β_0 , β_1 und β_2 charakterisiert. Geometrisch misst β_0 die Anzahl der Zusammenhangskomponenten des betrachteten kubischen Komplexes, β_1 die Anzahl der Tunnel (im zweidimensionalen werden daraus Löcher) und β_2 die Anzahl der eingeschlossenen Löcher.

Kühlt sich ein nahezu homogenes Gemische aus Eisenatomen und Chromatomen ab, so setzt ein Prozess der Phasentrennung ein, das Material bildet Regionen, die fast ausschlielich aus Eisen- bzw. Chromatomen bestehen. Diese Regionen sind dreidimensionale Strukturen, deren Aussehen von t abhängt.

Kühlt sich ein nahezu homogenes Gemische aus Eisenatomen und Chromatomen ab, so setzt ein Prozess der Phasentrennung ein, das Material bildet Regionen, die fast ausschlielich aus Eisen- bzw. Chromatomen bestehen. Diese Regionen sind dreidimensionale Strukturen, deren Aussehen von t abhängt.

Es ist möglich das Gemisch auf atomaren Level zu vermessen, d.h. das Aussehen der Regionen kann experimentell bestimmt werden.

Die Cahn-Hilliard Gleichung

$$\frac{\partial u}{\partial t} = -\Delta(\epsilon^2 \Delta u + u - u^3), \quad x \in \Omega
 n \cdot \nabla u = n \cdot \nabla \Delta u = 0, \quad x \in \partial\Omega$$
(1)

n ist der nach außen gerichtete Normalenvektor an $\partial\Omega$. u beschreibt die relative Konzentration der beiden Metalle.

Die Cahn-Hilliard Gleichung

$$\frac{\partial u}{\partial t} = -\Delta(\epsilon^2 \Delta u + u - u^3), \quad x \in \Omega
 n \cdot \nabla u = n \cdot \nabla \Delta u = 0, \quad x \in \partial\Omega$$
(1)

n ist der nach außen gerichtete Normalenvektor an $\partial\Omega$. u beschreibt die relative Konzentration der beiden Metalle.

Für kleine $\epsilon>0$ entstehen interessante Muster, diese Fälle werden wir näher betrachten.

Mit einer kleinen zufälligen Anfangsbedingung $u_0(x, y, z)$, die

$$\iint \int_{\Omega} u_0(x,y,z) \, dx \, dy \, dz = 0$$

erfüllt, kann man die Gleichung numerisch lösen.

Mit einer kleinen zufälligen Anfangsbedingung $u_0(x, y, z)$, die

$$\iint \int_{\Omega} u_0(x,y,z) \, dx \, dy \, dz = 0$$

erfüllt, kann man die Gleichung numerisch lösen.

Z.B. kann eine Lösung auf einem Gitter aus $128 \times 128 \times 128$ Punkten gerechnet werden. Die vorhandene Datenmenge besteht dann für festes $\tau > 0$ aus Zahlen

$$\{u(i,j,k,\tau) \mid 1 \le i,j,k \le 128\}$$
, die $u(x,y,z,\tau)$ approximieren.

Da wir uns für Regionen interessieren in denen die Phasentrennung fast komplett stattgefunden hat, betrachten wir für ein kleines $\delta>0$

$$R_1(t) = \{x \in \Omega | u(x, t) > 1 - \delta\}$$

$$R_2(t) = \{x \in \Omega | u(x, t) < -1 + \delta\}$$

Da wir uns für Regionen interessieren in denen die Phasentrennung fast komplett stattgefunden hat, betrachten wir für ein kleines $\delta>0$

$$R_1(t) = \{x \in \Omega | u(x, t) > 1 - \delta\}$$

$$R_2(t) = \{x \in \Omega | u(x, t) < -1 + \delta\}$$

Wir wollen wissen, ob eine Ähnlichkeit der Topologie der Regionen $R_1(t)$ bzw. $R_2(t)$ mit der Topologie der Regionen in denen vorwiegend Eisen bzw. Chrom vorhanden ist besteht.

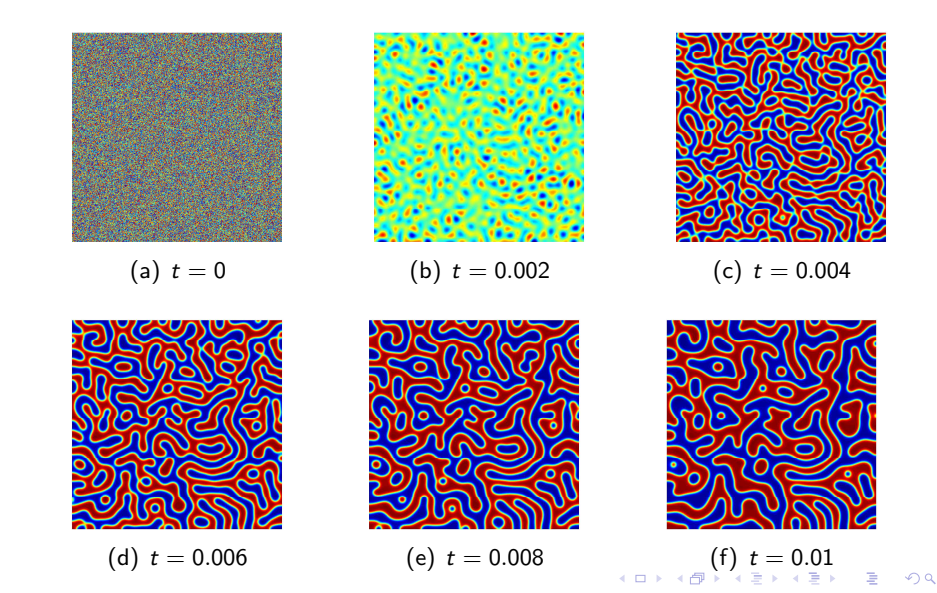
Im Zweidimensionalen

Wir gehen nun über zu dem zweidimensionalen Fall und betrachten $\Omega=[0,1]^2$. Die Bilder aus der nächsten Abbildung wurden mit Matlab für $\epsilon=0.005$ auf einem 512×512 Gitter und einer Zufallsanfangsbedingung $u(x_1,x_2,0)$, die

$$\int_{0}^{1} \int_{0}^{1} u(x_1, x_2, 0) dx_1 dx_2 = 0$$

erfüllt, berechnet.

Cahn-Hilliard: Niveaulinien von $u(x_1, x_2, t)$



Wir definieren

$$U^{+}(t) = \{(x_1, x_2) \in \Omega \mid u(x_1, x_2) > 0\}$$

$$U^{-}(t) = \{(x_1, x_2) \in \Omega \mid u(x_1, x_2) < 0\}$$

Wir definieren

$$U^{+}(t) = \{(x_1, x_2) \in \Omega \mid u(x_1, x_2) > 0\}$$

$$U^{-}(t) = \{(x_1, x_2) \in \Omega \mid u(x_1, x_2) < 0\}$$

Wir wollen die Homologie von $U^+(t)$ und $U^-(t)$ berechnen, dazu benötigen wir kubische Mengen. Da wir sowieso nur die Daten $\{u(i,j,t) \mid 1 \leq i,j \leq 512\}$ zur Verfügung haben ist die Zuordnung klar, u(i,j,t) gehört zu $K_2(U^+(t))$ wenn u(i,j,t) > 0 und zu $K_2(U^-(t))$ wenn u(i,j,t) < 0.

Cahn-Hilliard: Die Mengen $K_2(U^+(t))$

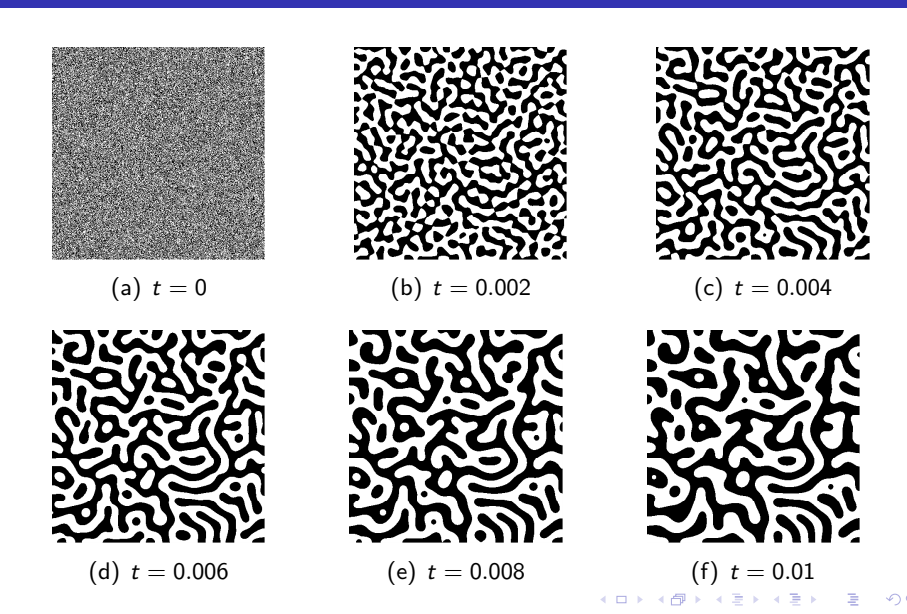






Abbildung: Die Bettizahlen der Muster zur Zeit $0.0005 < t \le 0.01$





Abbildung: Die gemittelten Bettizahlen der Muster zur Zeit $0.0005 < t \le 0.01$

Beobachtungen und Bemerkungen

- Der Wert von dim $H_k(U^{\pm}(t))$ ist für kleine Zeiten t sehr groß, da die Anfangsbedingung zufällig ist und zahlreiche Vorzeichenwechsel auftreten, und deswegen nicht in den Bildern enthalten.
- Die Anzahl der Zusammanhangskomponenten und Löcher nimmt innerhalb der ersten Zeitschritte rapide ab.
- Nachdem alle kleinen topologischen Strukturen verschwunden sind, beginnt eine Phase, in der die Komplexität der Topologie annähernd gleich bleibt.
- Nach 50 Zeitschritten nimmt die topologische Komplexität sehr schell ab.
- Die Geschwindigkeit der Abnahme der topologische Komplexität wird danach sehr schnell kleiner.

Zusammenhangskomponenten: Am Rand oder im Inneren?

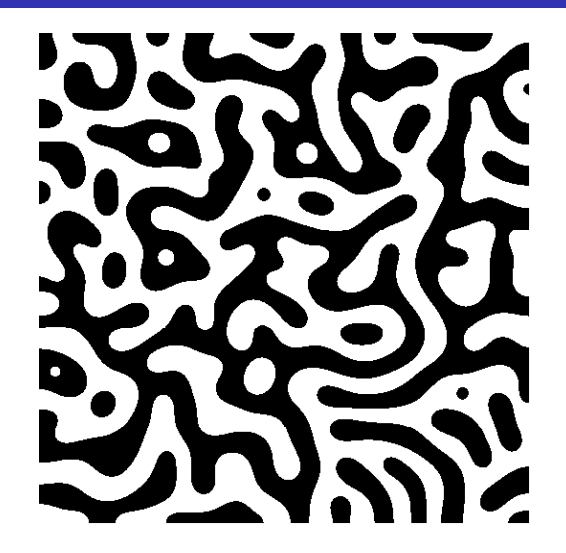


Abbildung: $K_2(U^+(0.1))$

Von den 36 Zusammenhangskomponenten berühren 23 den Rand und nur 13 Zusammanhangskomponenten liegen komplett im Inneren. Die Bettizahl β_0 von $U^+(t)$ unterscheidet nicht zwischen diesen beiden Typen von Zusammenhangskomponenten.

Von den 36 Zusammenhangskomponenten berühren 23 den Rand und nur 13 Zusammanhangskomponenten liegen komplett im Inneren. Die Bettizahl β_0 von $U^+(t)$ unterscheidet nicht zwischen diesen beiden Typen von Zusammenhangskomponenten.

Nur die inneren Komponenten sind diejenigen, die Löcher in $U^-(t)$ verursachen. Bezeichnen wir mit $\beta_{int,0}(U^+(t))$ die Anzahl der inneren und mit $\beta_{rand,0}(U^+(t))$ die Anzahl der Randkomponenten von $U^+(t)$, so erhalten wir die Beziehungen

$$eta_{int,0}(U^+(t)) = eta_1(U^-(t)) \quad \text{und} \\ eta_{rand,0}(U^+(t)) = eta_0(U^+(t)) - eta_1(U^-(t)).$$



Analog zu dem Vorgehen von oben stellt sich die Frage, wie sich diese beiden Zahlen sich in Abhägigkeit von t verhalten. Es zeigt sich, dass während die Anzahl der inneren Komponenten ein ähnliches Verhalten wie β_0 zeigt, die Anzahl der Randkomponenten im beobachteten Zeitraum nahezu konstant bleibt.

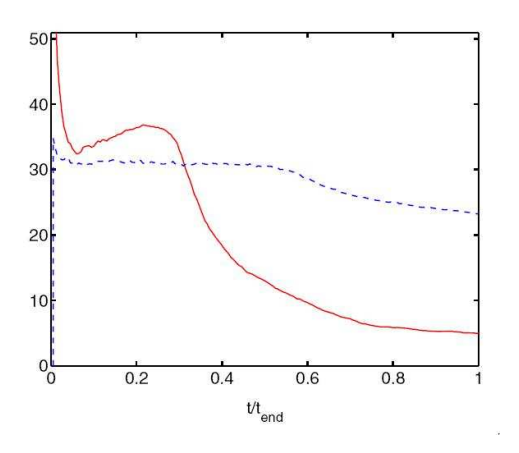


Abbildung: Die zeitliche Enteicklung von $\beta_{int,0}$ (rot) und $\beta_{rand,0}$ (blau)

Fazit

Im Gegensatz zu der Kenntniss anderer (u.U. leichter berechenbarer) topologischer Invarianten, wie z.B. der Euler-Charakteristik, ermöglicht die Kenntniss der Bettizahlen für $U^\pm(t)$ zusätzlich zu der Untersuchung der Zusammenhangskomponenten und der Löcher sogar die Untersuchung von auftretenden Randeffekten in endlichen Systemen.

Nichtlineare Systeme können zeitabhängige Muster erzeugen. Dabei ist es nicht selbsverständlich, dass diese Muster sich immer weiter vereinfachen, wie im Fall der Cahn-Hilliard Gleichung.

Nichtlineare Systeme können zeitabhängige Muster erzeugen. Dabei ist es nicht selbsverständlich, dass diese Muster sich immer weiter vereinfachen, wie im Fall der Cahn-Hilliard Gleichung.

Wir versuche mit Hilfe von Homologie aus der zeitlichen Entwicklung der Muster Rückschlüsse über das der Dynamik zugrunde liegende System zu ziehen.

Zunächst wollen wir nicht nur jedes Muster einzeln für sich betrachten sondern interessieren uns für die zeitliche Entwicklung bis zu einem festen Zeitpunkt τ . Wir benennen die für uns interessante Teilmenge aus $\Omega \times [0,\tau]$ E. In der Notation von oben: $E = \bigcup_{t \in [0,\tau]} U^+(t)$.

Zunächst wollen wir nicht nur jedes Muster einzeln für sich betrachten sondern interessieren uns für die zeitliche Entwicklung bis zu einem festen Zeitpunkt τ . Wir benennen die für uns interessante Teilmenge aus $\Omega \times [0,\tau]$ E. In der Notation von oben: $E = \bigcup_{t \in [0,\tau]} U^+(t)$.

Wir versuchen die räumlichen Strukturen der Muster und deren zeitliche Änderung zu verstehen. Wir könnten (wie oben) die Bettizahlen jedes Musters berechnen und deren zeitlichen Verlauf betrachten. Allerdings geht dabei die Information über Interaktionen zwischen den Mustern zu verscheidenen Zeiten verloren.

Wir berechnen die Topologie von *E*. Wenn das ursprüngliche System chaotisch ist erwarten wir auch von den Mustern eine Rekurrenz und deswegen reicht es dann auch aus endlich lange Zeitblöcke zu betrachten.

Wir berechnen die Topologie von *E*. Wenn das ursprüngliche System chaotisch ist erwarten wir auch von den Mustern eine Rekurrenz und deswegen reicht es dann auch aus endlich lange Zeitblöcke zu betrachten.

Es ist möglich aus der dadurch erhaltenen Zeitreihe eine Approximation für den maximalen Lyapunovexponenten des zugrunde liegenden Systems zu erhalten. Dadurch werden Aussagen darüber, ob ein System chaotisch ist, möglich.

Wir berechnen die Topologie von *E*. Wenn das ursprüngliche System chaotisch ist erwarten wir auch von den Mustern eine Rekurrenz und deswegen reicht es dann auch aus endlich lange Zeitblöcke zu betrachten.

Es ist möglich aus der dadurch erhaltenen Zeitreihe eine Approximation für den maximalen Lyapunovexponenten des zugrunde liegenden Systems zu erhalten. Dadurch werden Aussagen darüber, ob ein System chaotisch ist, möglich.

Auch wenn die Dimension der betrachteten Objekte damit um eine erhöht wird, so ist das Verfahren trotzdem durchführbar.

